彩色显示器颜色特征化的研究

李艳妮,李娅婷

(运城学院,运城 044000)

摘要:为了研究显示器颜色特性化问题,用多项式回归方法对色谱进行了分析,分别采用一次拟合与二次拟合建立了 CIERGB到 CIEL*a*b*空间的多项式模型。通过色差 ΔE 和拟合方差 σ^2 的比较,分析了模型的差异。结果表明:多项式模型项数为 9 和 11 时,模型效果较为满意,项数为 20 时,模型出现震荡;并且二次拟合比一次拟合效果好。

关键词:颜色特征化;颜色模型;多项式回归

中图分类号: TS803+.6; TS801.3 文献标识码: A 文章编号: 1001-3563(2011)17-0095-03

Research on Color Characterization of Display

LI Yan-ni, LI Ya-ting

(Yuncheng University, Yuncheng 044000, China)

Abstract: Color characterization of display was studied by using polynomial regression and spectrum analysis. Once fitting and twice fitting between the RGB signals and the L* a* b* values were applied to establish color space conversion model. Through comparing the difference of ΔE and σ^2 , the differences of the models were analyzed. The results showed that the model can get satisfactory result when number of terms is 9 and 11; twice fitting is better than once fitting; when the term is 20, the model is not stable.

Key words: color characterization; color modeling; polynomial regression

随着工业的快速发展,为了进一步提高生产效率和降低成本,实现远程打样成为印刷工业的迫切需求,然而颜色在不同设备间传递,必然导致颜色失真,所以显示器的色彩管理研究非常必要。在研究中首先要实现设备色空间与标准色空间的转换[1],以色空间 CIEL*a*b*为桥梁,实现显示器间色彩的传递,完成显示器的色域空间 CIERGB 到设备无关色空间 CIEL*a*b*的转化。目前颜色特征化主要采用的方法有:查找表法、多项式拟合法、神经网络模型法^[2]等。查找表发的精度高,但需要大量的颜色样本才能得到较高的精度;神经网络模型法的算法和训练的关系很大;多项式回归算法简单,主要是项数的确定。笔者采用最小二乘拟合方法,建立CIERGB空间到 CIEL*a*b*空间的转换模型。

1 多项式回归模型

多项式回归算法是在已知色空间和目标色空间中,建立适当的回归模型,由输入/输出值来确定模型系数,实现变换[3]。在转化中,以 R,G,B 值为自变量,若其转化表达式中只有此 3 值,则转化关系是线性的;若包含高次项(如 2 , g^2 , b^2 等)则是非线性的,实验所采用模型如下[4 - 5]:

1)
$$f(r,g,b) = a_1r + a_2g + a_3b$$

2)
$$f(r,g,b) = a_0 + a_1 r + a_2 g + a_3 b$$

3)
$$f(r,g,b) = a_1r + a_2g + a_3b + a_4rgb$$

4)
$$f(r,g,b) = a_0 + a_1r + a_2g + a_3b + a_4rgb$$

5)
$$f(r,g,b) = a_1r + a_2g + a_3b + a_4rg + a_5rb +$$

 $a_6 gb$

收稿日期: 2011-04-15

作者简介:李艳妮(1981一),女,陕西兴平人,硕士,运城学院助教,主要研究方向为颜色信息处理、色彩管理等。

- 6) $f(r,g,b) = a_0 + a_1r + a_2g + a_3b + a_4rg + a_5rb + a_6gb$
- 7) $f(r,g,b) = a_1r + a_2g + a_3b + a_4rg + a_5rb + a_6gb + a_7rgb$
- 8) $f(r,g,b) = a_0 + a_1r + a_2g + a_3b + a_4rg + a_5rb + a_6gb + a_7rgb$
- 9) $f(r,g,b) = a_1r + a_2g + a_3b + a_4rg + a_5rb + a_6gb + a_7r^2 + a_8g^2 + a_9b^2$
- 10) $f(r,g,b) = a_0 + a_1r + a_2g + a_3b + a_4rg + a_5rb + a_6gb + a_7r^2 + a_8g^2 + a_9b^2 + a_{10}rgb$
- 11) $f(r,g,b) = a_0 + a_1r + a_2g + a_3b + a_4rg + a_5rb + a_6gb + a_7r^2 + a_8g^2 + a_9b^2 + a_{10}rgb + a_{11}r^3 + a_{12} \cdot g^3 + a_{13}b^3 + a_{14}r^2g + a_{15}r^2b + a_{16}g^2r + a_{17}g^2b + a_{18}b^2r + a_{19}b^2g$

上式中 f 表示转换的标准色空间中的色度值; a_0 …… a_{19} 为各项系数;r,g,b 为测量各色块的 RGB 值。

若用 F 表示多项式转换的结果矩阵; P 表示源色空间信息点矩阵; A 表示转换系数矩阵,则 CIERGB和 CIEL* a*b*之间的转换模型可以用如下公式表示[6]:

F = PA

系数矩阵 A 可用最小二乘回归法计算[7-8],将系数代回多项式,可实现转换。

进行一次拟合后,得出的 L^* a^* b^* 数据与实际值之间存在较大误差,因此进行了第 2 次拟合。如果对每一个颜色样本分别用 L_2^* $,a_2^*$ $,b_2^*$ 表示上面拟合出的值,则再次拟合时,将 L_2^* $,a_2^*$ $,b_2^*$ 与 L^* $,a^*$ $,b^*$ 实测值进行二次拟合,采用多项式的最小二乘法拟合系数,可计算出一组 L^* $,a^*$ $,b^*$ 值。

2 实验及其结果分析

2.1 色标设计

对 RGB 色空间均匀分割,共有 512 个色块,等间隔抽取 50 个作为检验色块,其余用于建模。采用 Eye-One Display 2 仪器进行测量,获取需要的色度值。

2.2 结果分析

分别采用一次拟合与二次拟合方法,计算从 CIERGB 转换到 CIEL* a* b* 的色差 (表中数据格式 为平均值/最大值)和拟合方差,结果见表 1。

1) 通过方差比较看出,转换的均匀性随项数的

表 1 RGB \rightarrow L^{*}a^{*}b^{*}模型一次拟合与 二次拟合的色差(ΔE) 和方差(σ ²)

Tab. 1 The comparing result of RGB to L* a* b* on ΔE and σ^2 by once fitting and twice fitting

项数.次数	色差		方差	
	fit1	fit2	fit1	fit2
3.1	6.19/23.43	4.75/17.24	0.13	0.13
4.1	5.19/22.77	4.26/15.72	0.06	0.07
4.3	7.4/26.70	5.16/17.07	0.06	0.06
5.3	6.9/26.37	4.43/15.93	0.06	0.05
6.2	5.83/30.02	4.01/20.93	0.05	0.03
7.2	5.38/26.95	3.50/18.61	0.03	0.01
7.3	4.23/17.36	3.11/10.56	0.03	0.01
8.3	2.73/14.33	1.95/12.21	0.02	0.01
9.2	2.04/10.89	1.91/11.63	0.02	0.01
11.3	2.05/11.59	1.80/10.20	0.01	0.01
20.3	30.17/89.20	20.31/58.85	0.76	0.51

增加有所提高,波动性越来越小,认为很均匀了,二次拟合可使误差减小。

2) 顶数为 9 和 11 时,色差小,转换比较均匀。为了更直观的看出转换效果,用 Matlab 软件作出了顶数为 9,二次拟合时的 L^* , a^* , b^* 拟合效果,见图 1。

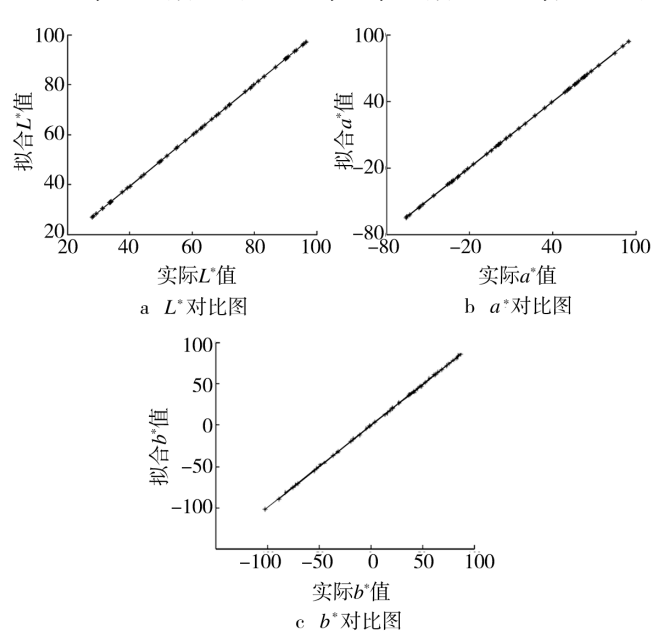


图 1 RGB 到 L*a*b*转换二次拟合模型的结果 Fig. 1 The result of the twice fitting model on RGB to L*a*b*

图 1 中横轴表示实际的 L^* , a^* , b^* 值 ,纵轴表示经过二次拟合的计算值。从图中可以看出拟合曲线非常接近实际的直线,说明实测值与拟合值误差不大。

3) 顶数为 20 时,2 种模型色差均大于 20,不符合 色差要求,此时模型出现较大震动,所以在建模时,顶

数不官太高。

3 结语

用一次拟合和二次多项式拟合建立了 CIERGB → CIEL* a* b* 转换模型,结果发现,项数为 9 和 11 时,2 种模型都达到了很高的精度,二次拟合比一次拟合效果好。项数为 20 时,模型出现了较大的震荡,误差较大,不适于建模。本研究对于远程打样中颜色的匹配具有应用价值,但其研究设备具有局限性,是否适合多种显示设备需进一步研究,只是远程软打样的一部分,下一步还需研究标准色空间到设备色空间的转化。

参考文献:

[1] 李艳妮. L*a*b*与 CMY 转换方程的研究[D]. 西安:西安理工大学,2007.

- [2] 胡涛,刘睿,张志刚.基于 BP 网络的扫描仪色彩空间转 化模型的研究[1],印刷杂志,2003(3):43-44.
- [3] 余鸿飞,石俊生,杨卫平.扫描仪的颜色表征、校正和 ICC Profile 建立方法[J]. 云南师范大学学报,2002,22(6):35
- [4] 周瑞. 彩色数码相机色彩空间转换模型的研究[D]. 西安: 西安理工大学,2007.
- [5] Windows Color System Schemas and Algorithms [EB/OL]. [2006-06-10]. http://msdn. microsoft. com/library/default. asp? url =/library/en us/icm/wcs_cdmpschema.asp.
- [6] 马艳满,刘浩学,刘昕. 数码相机的颜色特征化研究[J]. 北京印刷学院学报,2006(12):9-12.
- [7] 闵涛,秦新强,赵凤群.数值分析[M].北京:中国科学文化出版社,2003.
- [8] 王沫然. MATLAB 与科学计算[M]. 北京: 电子工业出版社,2003.

(上接第40页)

- [14] GB/T 17657-1999,造板及饰面人造板理化性能试验方法[S].
- [15] 王珂,朱湛,郭炳南,等. 有机蒙脱土的制备及其结构表征[J]. 北京理工大学学报,2002,22(2):240-243.
- [16] PAN J J, YANG G Y, HANG B X, et al. Studies on Interaction of Dodecyltrimethylammonium Bromide with Na and Al-Montmorillonite [J]. Journal of Colloid and Interface Science, 1997, 194:276—280.
- [17] TLIM S, HYUAN Y H, CHOI H J, et al., Synthetic Biodegradable Aliphatic Polyester/montmorillonite Nano-

- composites [J]. Chemistry of Materials, 2002, 14(4): 1839—1844.
- [18] 刘彦龙,唐朝发.纳米蒙脱土对脲醛树脂性能的影响[J]. 林产工业,2006,33(5):34-35.
- [19] JI You-gu, HIGUCHI Mits, MORITA Mitsuhiro, et al. Synthetic Condition and Chemical Structures of Ureaformaldehyde Resins I. Properties of the Resins Synthesized by Three Different Procedures[J]. Japan Wood Research Society, 1995, 4(12):1151—1121.

(上接第 46 页)

学性能分析,得到了捆带及钢板的受力情况,并应用有限元软件进行计算和对比分析。为提高钢板包装捆带的捆扎效果,降低钢板之间的静力摩擦,就必须减少捆带与板垛以及托架的摩擦系数,可采用在捆带上涂抹润滑油的方法;在工艺允许的情况下,也可将捆带对称捆扎,即锁扣位置均匀分布在板垛的4个端面上,这样可以使板垛捆扎产生的静摩擦力相互抵消。

参考文献:

- [1] 刘明利,于革刚,孙瑞涛. 钢卷包装工艺技术研究[J]. 冶金设备,2005(3):35-38.
- [2] 于革刚,刘明利,孙瑞涛. 钢卷包装技术现状与发展趋势 浅析[J]. 冶金设备,2005(2):48-50.

- [3] 王浩宇,石焱,饶洪宇. 我国冷轧钢卷包装工艺现状分析 [J]. 中国钢铁业,2007(3):33-34.
- [4] 王群,周廷美,莫易敏. 钢板包装捆扎的力学性能分析 [J]. 武汉理工大学学报,2010(12):111-115.
- [5] 杜庆华. 工程力学手册[K]. 北京: 高等教育出版社, 1998.
- [6] 刘宝朋,陆佳平.薄钢板材包装用木托架的受力分析和结构优化[J].包装工程,2010,31(11):42-45.
- [7] 周晓欢,于革刚. 钢板带材包装捆带受力分析研究[D]. 北京:机械科学研究院,2006.
- [8] 于开平,周传月,谭惠丰,等. HyperMesh 从入门到精通 [M]. 北京:科学出版社,2005.